DOI: 10.13870/j.cnki.stbcxb.2025.04.009

CSTR: 32310.14.stbcxb.2025.04.009

路浩,安志超,王丽娜,等.陕西省植被水分利用效率的时空变化特征及影响因素[J].水土保持学报,2025,39(4):91-99.

LU Hao, AN Zhichao, WANG Lina, et al. Spatiotemporal variations and influencing factors of vegetation water use efficiency in Shaanxi Province [J]. Journal of Soil and Water Conservation, 2025, 39(4):91-99.

# 陕西省植被水分利用效率的时空变化特征及影响因素

路 浩1, 安志超2, 王丽娜3, 周 莹1, 白 静1, 孙自杰4, 王炫迪2, 唐亚坤1

(1.西北农林科技大学水土保持科学与工程学院,陕西 杨凌 712100; 2.西北农林科技大学资源环境学院,陕西 杨凌 712100; 3.西北农林科技大学林学院,陕西 杨凌 712100; 4.西北农林科技大学机械与电子工程学院,陕西 杨凌 712100)

摘 要:[目的]为明确陕西省植被水分利用效率(water use efficiency, WUE)的时空变化特征及影响因素的单独影响机制。[方法]基于MODIS数据产品和国家地球系统科学数据中心提供的数据,分析陕西省不同植被类型 2001-2022年 WUE的时空变化特征,并结合空气温度(T)、降水(P)、归一化植被指数(NDVI)、潜在蒸散发(ET<sub>0</sub>)及饱和蒸汽压差(VPD)等因素明确 WUE对环境和生物因子的响应机制。[结果]陕西省植被 WUE 多年平均值为( $2.1\pm0.4$ ) g/(mm·m²)(以C计),在空间上表现为南高北低的变化特征,年际间表现为不显著上升趋势(p=0.46),且在年内表现出单峰型变化特征。不同的植被类型 WUE 差异显著(p<0.05),WUE 多年平均值由大到小排序为森林〉湿地〉农田〉灌木〉草地。森林 WUE 在 2001-2022年呈显著上升趋势(p<0.05),而农田与湿地 WUE 呈显著下降趋势(p<0.05)。通过分析陕西省植被 WUE 与环境和生物因素的偏相关系数,主导陕西省植被生态系统 WUE 影响因素面积占比由大到小依次为 T(33.24%)》NDVI(30.80%)》 VPD(27.70%)》ET<sub>0</sub>(6.07)》P(2.08%)。[结论]陕西省植被 WUE 表现为不显著年际间上升趋势,中北部和南部地区植被 WUE 的变化主要受环境因素和 NDVI 影响。研究结果可为陕西省生态建设过程中水资源高效利用评估和管理提供参考。

关键词:陕西省; 植被水分利用效率; 总初级生产力; 蒸散发; MODIS; 影响因素

中图分类号:X24.1

文献标识码:A

文章编号:1009-2242(2025)04-0091-09

# Spatiotemporal Variations and Influencing Factors of Vegetation Water Use Efficiency in Shaanxi Province

LU Hao<sup>1</sup>, AN Zhichao<sup>2</sup>, WANG Lina<sup>3</sup>, ZHOU Ying<sup>1</sup>, BAI Jing<sup>1</sup>, SUN Zijie<sup>4</sup>, WANG Xuandi<sup>2</sup>, TANG Yakun<sup>1</sup> (1.College of Soil and Water Conservation Science and Engineering, Northwest A&F University, Yangling, Shaanxi 712100, China; 2.College of Natural Resources and Environment, Northwest A&F University, Yangling, Shaanxi 712100, China; 3.College of Forestry, Northwest A&F University, Yangling, Shaanxi 712100, China; 4.College of Mechanical and Electronic Engineering, Northwest A&F University, Yangling, Shaanxi 712100, China)

**Abstract**: [**Objective**] This study aimed to clarify the spatiotemporal variation characteristics of vegetation water use efficiency (WUE) in Shaanxi Province and the individual impact mechanisms of the influencing factors. [**Methods**] Based on MODIS data products and data provided by the National Earth System Science Data Center, we analyzed the spatiotemporal variations of WUE across different vegetation types from 2001 to 2022 in Shaanxi Province. We also examined the response mechanisms of WUE to environmental and biological factors, including air temperature (T), precipitation (P), normalized difference vegetation index (NDVI), potential evaporation ( $ET_0$ ), and vapor pressure deficit (VPD). [**Results**] The multi-year average WUE of vegetation in Shaanxi Province was ( $2.1\pm0.4$ ) g/(mm·m²) (calculated in C), exhibiting a spatial pattern of higher values in the south and lower values in the north. The multi-year average WUE showed a non-significant increasing trend (p=0.46) with a single peaked pattern within the

**资助项目:**西北农林科技大学"大学生创新创业训练计划"项目(S202410712356);陕西省自然科学基础研究计划项目(2025JC-YBMS-221);国家自然科学基金项目(41977425)

第一作者:路浩(2001—),男,硕士研究生,主要从事区域生态水文研究。E-mail;lh2020@nwafu.edu.cn

通信作者: 唐亚坤(1984—), 男, 博士, 副研究员, 主要从事流域水资源高效利用研究。E-mail: yktang@nwsuaf.edu.cn

year. Significant differences in WUE were observed among different vegetation types (p<0.05), with the multi-year average WUE ranked as forest>wetland>cropland>shrubland>grassland. Forests showed a significant increasing trend in WUE from 2001 to 2022 (p<0.05), while cropland and wetland demonstrated significant decreasing trends in WUE (p<0.05). Partial correlation analysis revealed that the relative importance of influencing factors on WUE ranked as T (33.24%)>NDVI (30.80%)>VPD (27.70%)>ET<sub>0</sub> (6.07%)>P (2.08%). [Conclusion] Vegetation WUE in Shaanxi Province showed a non-significant interannual increasing trend, and changes in vegetation WUE in the north-central and southern regions were mainly influenced by environmental factors and NDVI, respectively. The findings can provide references for the assessment and management of efficient water resource utilization during the ecological construction process in Shaanxi Province.

**Keywords**: Shaanxi Province; water use efficiency; gross primary productivity; evapotranspiration; MODIS; influencing factors

**Received**: 2024-10-28 **Revised**: 2025-04-10 **Accepted**: 2025-05-12 **Online**(www.cnki.net): 2025-05-21

全球气候变化背景下,极端气候事件频率增加显著影响我国陆地生态系统的碳水循环过程[1]。生态系统的碳循环和水循环间的耦合关系可通过水分利用效率(water use efficiency, WUE)进行量化,WUE—般被定义为生态系统尺度植被的总初级生产力(gross primary productivity, GPP)与蒸散发(evapotranspiration, ET)的比值[2]。研究区域WUE的变化模式和驱动因素,可以为了解全球气候变化在区域上的响应提供参考,对评估区域尺度碳水循环耦合机制对生态系统的影响有重要意义。

随着遥感技术的进步,基于MODIS等遥感数据 能够对大尺度植被WUE开展研究,此方法不仅提高 数据获取的效率,还能克服传统田间测量方法的局 限性[3]。目前研究主要关注 WUE 的变化趋势及其主 要影响因素。郭李迈[4]采用GLASS数据产品研究中 国陆地生态系统近35 a的WUE表明,全国陆地 77.1%的区域 WUE 呈增加趋势; 周雄等[5] 基于 MODIS数据的研究表明,2000-2014年中国西南高 山亚高山区85.84%的植被WUE呈上升趋势;而李 丽丽等[6]同样基于 MODIS 数据研究发现, 2000— 2020年祁连山地区植被 WUE 总体呈缓慢减少趋势, 表明由于地理气候条件不同,不同地区WUE的影响 因素也存在差异。探究区域尺度 WUE 的影响因素 有助于明晰不同地区植被对气候变化的响应。另 外,学者们<sup>[4-6]</sup>已经从空气温度(T)、降水(P)、潜在蒸 散发(ET。)、饱和蒸汽压差(VPD)、归一化植被指数 (NDVI)和CO。浓度等多个角度对生态系统WUE的 影响因素展开大量研究。多数研究已经阐述单个环境 因素与WUE间的相关关系,如在一定温度范围内, WUE 随温度升高而增大,CO。浓度的上升也促进 WUE 增大[4-6]。然而,由于各影响因素间通常存在相 互作用,因此,需要量化环境生物因素对WUE的单独 影响,才能明确不同植被生态系统WUE的影响机制。

陕西省是我国西北地区重要的生态安全屏障,横 跨3个气候带,南北气候差异较大且水资源分配不均 匀[7]。作为实施国家"生态恢复工程"战略的重点区域 之一,陕西省开展一系列的如"退耕还林(草)""天然林 保护"等生态保护工程。然而,现有陕西省WUE影响 因素分析方面的研究只考虑温度、降水等环境因素[8], 而对于NDVI等生物因素的考虑不足。需要综合考虑 环境与生物因素,以期进一步明确在区域尺度上各影 响因素对于WUE的单独影响机制。本研究以陕西省 植被为研究对象,基于MODIS数据产品定量计算陕 西省 2001-2022 年植被 WUE, 明确不同植被类型 WUE的时空分布特征。本研究选取5个环境和生物 因素,全面分析植被WUE的主要影响机制。温度(T) 与蒸散发、光合作用和呼吸作用相关,影响植物的水分 需求和生理过程<sup>[9]</sup>。降水(P)是植被水分供应的主要 来源,直接影响植被的生长和水分利用能力[10]。潜在 蒸散发(ET<sub>0</sub>)是衡量植物蒸发和蒸腾潜力的关键指 标,受温度、湿度和风速等气候因素的影响,对水分利 用效率有重要作用[11]。饱和蒸汽压差(VPD)反映空气 的干燥程度,影响蒸散发速率,从而间接影响植被水分 压力和利用效率[12]。归一化植被指数(NDVI)作为遥 感数据中常用的植被指数,能够有效反映植被的生长 状态和绿度,与植被的生产力和水分利用效率密切相 及NDVI等环境和生物因素对植被WUE的影响。通 过研究陕西省生态系统WUE的时空分布规律及其关 键影响因素,能够更全面地了解当地不同植被生态系 统的碳-水循环过程和植被水分利用策略,有助于该地 区的绿色发展和生态文明建设。

# 1 材料与方法

#### 1.1 研究区概况

陕西省位于我国西北内陆(31°42′~39°35′N, 105°29′~111°15′E),总面积20.58万km²。陕西省主要有高原、山地、平原和盆地等多种地形,依据地形可分为南部秦巴山区、中部关中平原、北部黄土高原三大自然地理区域(图1)。其中,黄土高原面积占比最大,约占全省总面积的40%,海拔199~3665 m。陕北北部长城沿线属中温带气候,南部秦巴山区属亚热带气候,关中及陕北大部分属暖温带气候。全省年平均气温为

13.3 ℃,自南向北、自东向西递减,全省年平均降水量为676 mm,降水量南多北少,南部秦巴山区为湿润区, 关中为半湿润区,陕北为半干旱区。全省植被类型空间分布差异大,以林地、耕地和草地为主,林地约占全省面积的44%,耕地约占30%,草地约占20%,三者之和占全省面积的94%以上,也构成陕西省3类主要的植被生态系统。其中,陕北长城以北分布沙生植物,植被稀疏,长城以南的榆林南部及延安北部生长以灌木为主,植被覆盖较低。关中地区以耕地为主,秦岭主体及其以北以暖温带落叶阔叶林为主,巴山地区以常绿阔叶林和落叶阔叶林为主。

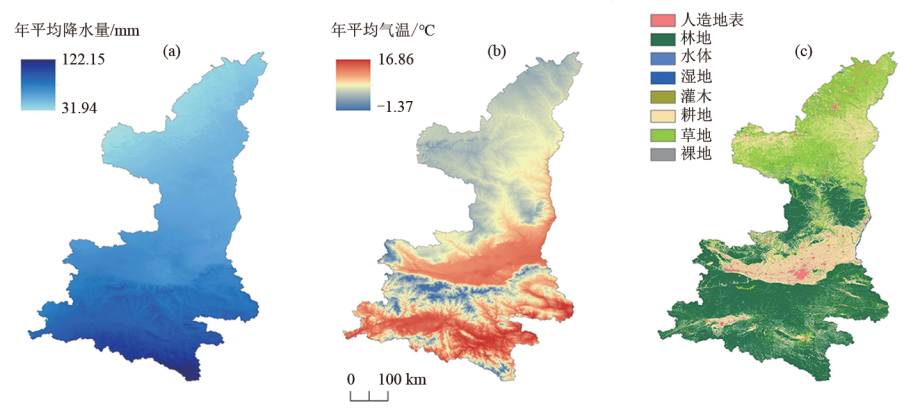


图 1 陕西省年平均降水量、年平均气温及 2020 年土地利用情况

Fig. 1 Average annual precipitation, average annual temperature, and land use of Shaanxi Province in 2020

# 1.2 数据来源

研究所使用的数据见表 1。基于 Google Earth Engine (https://earthengine.google.com) 平台获取 2001—2022年的 MODIS 数据,包括 MOD16A2蒸散发(evapotranspiration,ET)、MOD17A2总初级生产力(gross primary productivity,GPP)及 MOD13A1归一化植被指数(NDVI)。其中,ET、GPP和NDVI数据空间分辨率均为 500 m,ET和 GPP时间分辨率为 8 d,NDVI时间分辨率为 16 d。TANG等<sup>[3]</sup>利用全球 32个FLUXNET 站点的数据验证了基于 MODIS 数据产品估算WUE的可靠性和准确性。在GEE平台通过累加法合成月和年尺度的ET和GPP用于计算对应时间尺度的WUE,月和年尺度的NDVI使用平均值计算。月尺度饱和蒸汽压差(VPD)基于ERA5-Land数据集的月尺度地表温度和露点温度,采用联合国粮食及农业组织(FAO)推荐的VPD计算方法得到,计算公式为:

$$VPD = 0.610 \, 8 \left[ e^{\left( \frac{17.27T_a}{273.3 + T_a} \right)} - e^{\left( \frac{17.27T_d}{273.3 + T_d} \right)} \right] \tag{1}$$

式中: $T_a$ 为月尺度气温, $\mathbb{C}$ ; $T_d$ 为月尺度露点气温, $\mathbb{C}$ ; VPD为月尺度饱和蒸汽压差,kPa。

地表覆盖数据及气象数据均来源于国家科技基础条件平台国家地球系统科学数据中心(http://

www.geodata.cn)。数据主要包括 30 m 分辨率的 GlobeLand30 地表覆盖数据集(2020年)、2001—2022 年 1 km 分辨率月尺度平均气温(T)数据集、潜在蒸散发( $ET_0$ )数据集和降水量(P)数据集。在 ArcGIS 10.8软件中通过陕西省边界矢量数据进行裁剪,最终得到陕西省 DEM、土地覆盖及气象数据。

为保证数据空间统一性以方便后续计算与分析,以上栅格数据除地表覆盖数据以外,投影统一转换为WGC\_1984坐标系统。空间分辨率重采样统一为1km,同时,通过陕西省矢量边界掩膜提取得到相应的数据。

#### 1.3 研究方法

1.3.1 WUE的计算 在本研究中,使用总初级生产力(GPP)与蒸散发(ET)的比值计算 WUE<sup>[3]</sup>,计算公式为:

$$WUE = \frac{GPP}{ET}$$
 (2)

式中:WUE为月尺度生态系统水分利用效率, g/(mm·m²);ET为月尺度生态系统蒸散发量,mm; GPP为月尺度生态系统总初级生产力,g/m²。年尺度WUE通过将月尺度GPP和ET按每年累加后计算得到。月尺度WUE用于年内趋势分析及偏相关系数计算,年尺度WUE用于年际间趋势分析。

表 1	数据源	详情

Table 1 Details of data sources

数据类型	数据集名称	年份	空间分 辨率/ km	时间分 辨率	数据来源
ET	MOD16A2	2001—2022	0.5	8 d	https://earthengine.google.com
GPP	MOD17A2	2001—2022	0.5	8 d	https://earthengine.google.com
NDVI	MOD13A1	2001—2022	0.5	16 d	https://earthengine.google.com
VPD	ERA5-Land	2001—2022	10	月	https://earthengine.google.com
T	1901-2022年中国1km分辨率逐月平均气温数据集	2001—2022	1	月	http://www.geodata.cn
P	1901-2022年中国 km 分辨率逐月降水量数据集	2001—2022	1	月	http://www.geodata.cn
$ET_0$	1901-2022年中国1km逐月潜在蒸散发数据集	2001—2022	1	月	http://www.geodata.cn
土地利用	中国GlobeLand 30地表覆盖数据集	2020	0.03		http://www.geodata.cn

1.3.2 Theil-Sen 趋势分析及 Mann-Kendall 检验 对 陕西省逐像元 2001—2022年 WUE 进行 Theil-Sen 趋 势分析,该方法是稳定的非参数统计方法,计算效率 高且受异常值影响较小[14]。以此分析各因素的变化 趋势,计算公式为:

$$\beta = \operatorname{Median}(\frac{x_j - x_i}{j - i}), \forall j > i$$
 (3)

式中:x<sub>i</sub>和x<sub>i</sub>分别为WUE及各影响因素在第i年和 第j年的像元值,当 $\beta$ >0时,表示增长趋势, $\beta$ <0时, 为减少趋势。

使用 Mann-Kendall 检验方法分析陕西省逐像元 2001-2022年WUE变化趋势。该方法属于非参数 统计检验方法,不要求数据正态分布或呈线性变化 趋势,且不受缺失值与异常值的影响[15]。统计检验 方法为:

$$Z = \begin{cases} \frac{S}{\sqrt{\text{Var}(S)}} & S > 0\\ 0 & S = 0\\ \frac{S+1}{\sqrt{\text{Var}(S)}} & S < 0 \end{cases}$$
 (4)

$$S = \sum_{i=1}^{n-1} \sum_{i=i+1}^{n} \operatorname{sgn}(x_{i} - x_{i})$$
 (5)

$$\operatorname{sgn}(x_{j} - x_{i}) = \begin{cases} 1 & x_{j} - x_{i} > 0 \\ 0 & x_{j} - x_{i} = 0 \\ -1 & x_{j} - x_{i} < 0 \end{cases}$$

$$\operatorname{Var}(S) = \frac{n(n-1)(2n+5)}{18}$$
(6)

$$Var(S) = \frac{n(n-1)(2n+5)}{18}$$
 (7)

式中: $x_i$ 和 $x_i$ 分别为变量在第i年和第j年的值;n为 时间序列长度; $Z=\pm 2.58$ 表示极显著性水平 $\alpha=$  $0.01, Z = \pm 1.96$  表示显著性水平  $\alpha = 0.05$ 。根据计算 结果将变化趋势分为5个等级(表2)。

1.3.3 偏相关系数 由于不同影响因素间可能存在 相关性,简单皮尔逊相关系数无法真实反映各因素 对WUE的单独影响,因此,本研究采用偏相关系数 量化各因素对WUE的单独影响。通过逐像元计算 得到陕西省 WUE 与 NDVI、ET。、P、T、VPD 等 5 个环 境生物因素的偏相关系数,然后将5个偏相关系数结 果进行逐像元叠加分析,取系数绝对值最大的因素 作为主导因素得到陕西省不同区域主导因素分布情 况。偏相关系数计算公式为

$$r_{i,j\,l_{l}l_{2}\cdots l_{g}} = \frac{r_{i,j\,l_{l}l_{2}\cdots l_{g-1}} - r_{i,\,l_{g}\,l_{l}l_{2}\cdots l_{g-1}} r_{j,\,l_{g}\,l_{l}l_{2}\cdots l_{g-1}}}{\sqrt{(1 - r_{i,\,l_{g}\,l_{l}l_{2}\cdots l_{g-1}}^{2})(1 - r_{j,\,l_{g}\,l_{l}l_{2}\cdots l_{g-1}}^{2})}} \quad (8)$$

式中: $r_{i,j_i,l_2\cdots l_n}$ 为变量 $x_i$ 和 $x_j$ 的n阶偏相关系数;等式 右侧的每一项为(n-1)阶偏相关系数。

表 2 趋势特征分类

Table 2 Classification of trend characteristics

β	Z	趋势特征
$\beta > 0$	Z  > 2.58	极显著增加
	$1.96 <  Z  \le 2.58$	显著增加
$\beta = 0$	Z	无变化
β<0	$1.96 <  Z  \le 2.58$	显著减少
	Z  > 2.58	极显著减少

1.3.4 数据分析 使用 ArcGIS 10.8 软件进行栅格 数据计算与分析,使用 Excel 2019 软件进行 GPP、 ET、WUE逐月及逐年数据的整理。使用 Matlab 2020b 软件进行 Theil-Sen 趋势分析、Mann-Kendall 检验及偏相关分析。使用 SPSS 27.0.1 软件进行单 因素方差分析及显著性检验,文中绘图使用Origin 2022软件完成。

# 2 结果与分析

## 2.1 陕西省植被 WUE 的空间分布特征及变化趋势

陕西省 2001-2022 年平均植被 WUE 空间分布 格局见图 2a。陕西省 WUE 多年平均值为(2.1± 0.4) g/(mm·m²),不同区域WUE为0.87~6.74 g/ (mm·m²)。总体来看,WUE呈南高北低的空间差异 特征,WUE高值主要出现在南部秦巴山区,WUE低 值主要出现在陕北地区。从不同的植被类型来看,南 部秦巴山区的植被以森林为主,靠近汉中地区则是农 田的主要分布地,WUE在该地区普遍较高,全省森林 WUE 多年平均值为 $(2.32\pm0.11)$  g/ $(mm\cdot m^2)$ ,农田 WUE 为 $(2.03\pm0.10)$  g/ $(mm\cdot m^2)$ 。陕北地区受气候影响,较为干旱,以草地和灌木生态系统为主,WUE 低值主要出现在此地区,草地和灌木的 WUE 多年平均值分别为 $(1.79\pm0.11)$ 、 $(1.90\pm0.10)$  g/ $(mm\cdot m^2)$ 。

陕西省 2001-2022 年植被 WUE 变化率为  $-0.12\sim0.17$  g/(mm·m²·a)(图 2b),平均变化率为  $(0.002\pm0.02)$  g/(mm·m²·a)。WUE 变化率呈空间 异质性,南部秦巴山区的 WUE 变化率高于其他地

区,其次为陕北地区,汉中地区最小为负值。从Mann-Kendall 检验结果(图 2c)来看,陕西省 17.16%的区域呈显著增加趋势(p<0.05),11.29%的区域呈极显著增加趋势(p<0.01),且增加的植被WUE主要分布在南部秦巴山区及陕北少部分地区。陕西省22.58%的区域呈显著减少趋势(p<0.05),12.23%的区域呈极显著减少趋势(p<0.01)。总体上,陕西省39.74%的WUE区域显著的变化,而其余区域WUE表现为无显著变化。

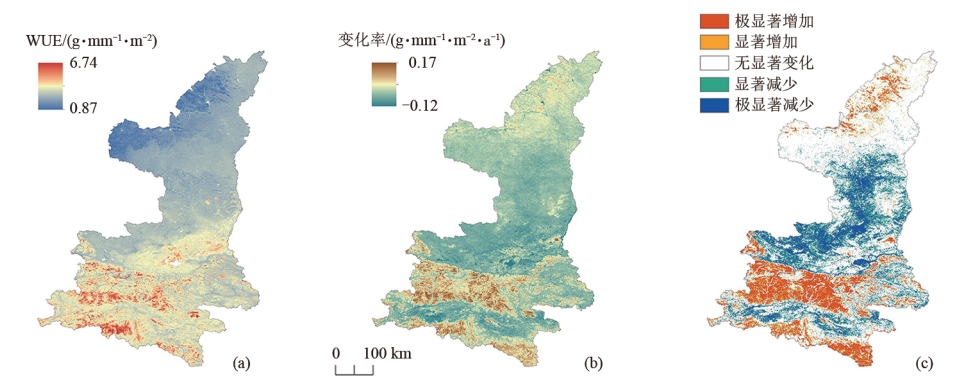


图 2 陕西省 2001—2022 年平均 WUE 空间分布、变化率及 Mann-Kendall 检验

Fig. 2 Spatial distribution of average WUE, WUE change rate, and results of the Mann-Kendall test in Shaanxi Province from 2001 to 2022

#### 2.2 陕西省WUE的时间变化特征

陕西省 2001—2022 年植被 WUE 年值为 1.92~ 2.28 g/(mm·m²),平均值为  $(2.1\pm0.4)$  g/(mm·m²), 2003年出现最小值 1.92 g/(mm·m²), 2012年出现最大值 2.28 g/(mm·m²)(图 3a)。2001—2022年WUE整体呈略微上升趋势,增速为 0.002 g/(mm·m²·a), 但增加趋势并不显著(p=0.46)。

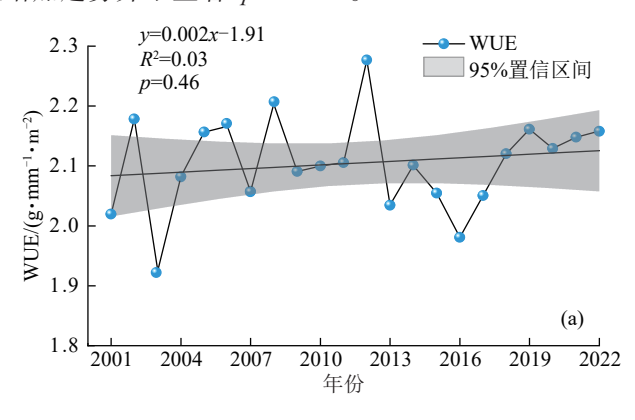


图 3b 反映陕西省 2001—2022 年 WUE 单峰型的年内变化特征,1—5 月呈增加趋势,变化率为 1.36 g/(mm·m²·month)。5—9 月趋于稳定,变化率仅为 -0.04 g/(mm·m²·month)。从 10 月 开始, 11 月 、 12 月 均呈减少趋势,变化率为 -0.82 g/(mm·m²·month)。按季节分析,春、夏、秋、冬 WUE 季值分别为  $2.29 \times 2.41 \times 2.07 \times 0.55 \text{ g/(mm·m²)}$ 。

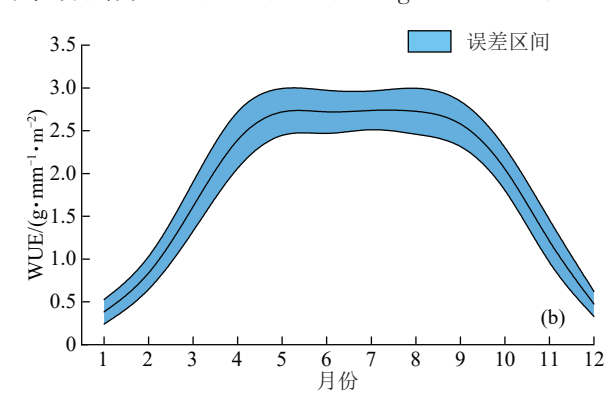


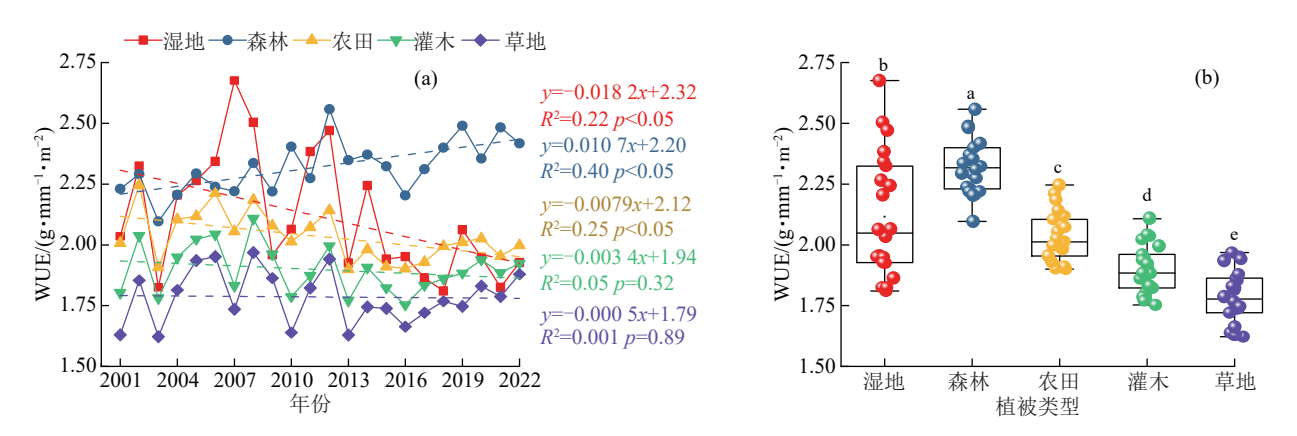
图 3 陕西省 2001—2022 年 WUE 年际变化和年内变化

Fig. 3 Interannual variation and intra-annual variation of WUE in Shaanxi Province from 2001 to 2022

### 2.3 不同植被类型的 WUE

陕西省 2001—2020 年不同植被类型多年平均 WUE 见图 4,由大到小依次为森林 [(2.32±0.11) g/(mm·m²)]、湿地[(2.12±0.25) g/(mm·m²)]、农田[(2.03±0.10) g/(mm·m²)]、灌木[(1.90±0.10) g/(mm·m²)]、草地[(1.79±0.11) g/(mm·m²)]。

只有森林植被 WUE 呈显著增加趋势 (p < 0.05),增加速率为 0.010 7 g/ $(mm \cdot m^2 \cdot a)$ ,而农田与湿地WUE 表现为显著降低趋势 (p < 0.05),降低速率分别为-0.007 9、-0.018 2 g/ $(mm \cdot m^2 \cdot a)$ 。灌木与草地 WUE 没有表现出显著增加 (p = 0.32)或减低趋势 (p = 0.89)。



注:箱体表示数据的中间 50% 分布范围(即四分位距, IQR),箱体中间的横线表示数据的中位数(median),箱体延伸出的直线(须线, whiskers)表示排除异常值后的数据范围。

#### 图 4 陕西省 2001—2022 年不同植被类型 WUE 变化趋势及 WUE 平均值

### Fig. 4 Trends of WUE changes and mean WUE of different vegetation types in Shaanxi Province from 2001 to 2022

## 2.4 环境和生物因素对陕西省植被 WUE 的影响

通过逐像元计算陕西省植被WUE与5个影响因素的偏相关系数显示,NDVI和VPD在大部分地区表现出显著相关性(图 5a、图 5e),分别覆盖 61.62%和 67.06%区域,其中,NDVI的偏相关系数为 $-0.62\sim0.72(p<0.05)$ ,正相关区域占 47.58%,负相关区域为 14.04%;VPD的偏相关系数为 $-0.25\sim0.61(p<0.05)$ ,正相关区域占 65.08%,负相关仅 1.98%。 T与 ET。

同样显示出显著相关性(图 5d、图 5b),分别在 58.90% 和 40.38% 区域,T 的偏相关系数为 - 0.36~0.69 (p<0.05),正相关占 56.78%,负相关仅为 2.12%;ET。 的偏相关系数为 - 0.46~0.58(p<0.05),正相关区域为 23.89%,负相关区域为 16.49%;P对 WUE有显著性影响的区域面积占比相对较小(图 5c),仅在 22.73% 的区域显著相关,偏相关系数为 - 0.40~0.32(p<0.05),正相关区域仅占 1.71%,负相关区域占 21.02%。

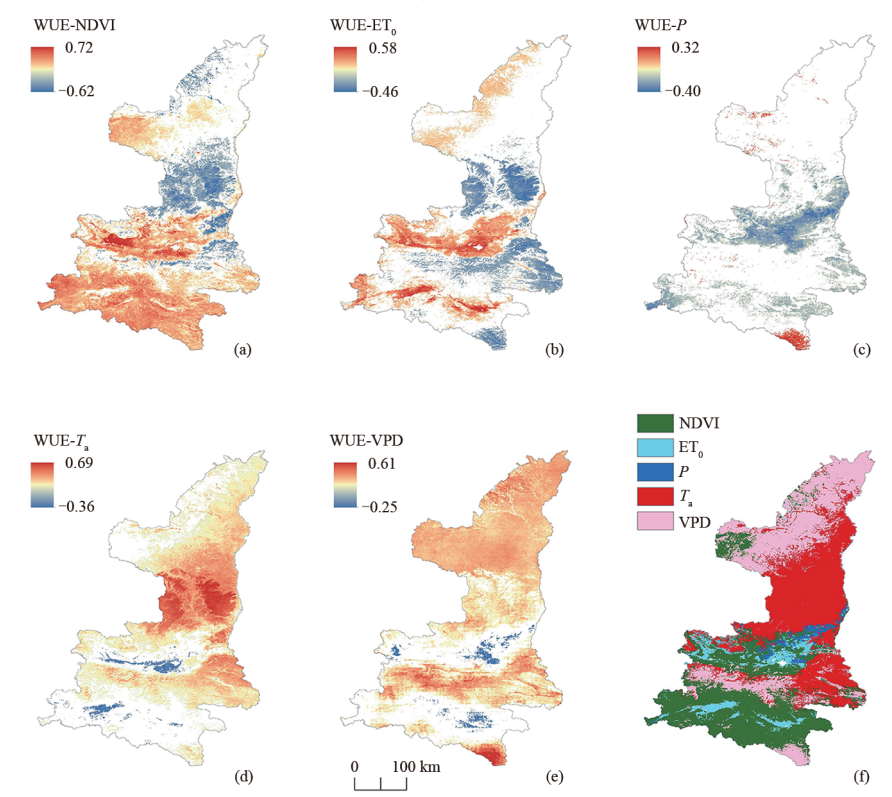


图 5 陕西省 2001—2022 年 WUE 与 NDVI、潜在蒸散发、降水、温度、饱和水汽压差的偏相关系数及主导因素空间分布 Fig. 5 Partial correlation coefficients between WUE and NDVI, potential evapotranspiration, precipitation, temperature, vapor pressure deficit in Shaanxi Province from 2001 to 2022, and spatial distribution of dominant factors

由图 5f可知,陕西各区域主导因素面积的占比 (27.70%)、 $ET_0(6.07)$ 、P(2.08%)。表明陕西省区域从大到小依次为 T(33.24%)、NDVI(30.80%)、VPD 内 WUE 的变化主要是由 T、NDVI、VPD 主导,其中 http://stbcxb.alljournal.com.cn

T主导变化区域占比最大,而  $ET_0$ 与 P 主导变化的区域占比最低。从地域分布来看,陕北北部边界地区主要受 VPD 影响,部分区域与 NDVI 相关,陕北以南部分区域至汉中地区都主要受 T变化的影响。而南部秦巴山区大部分地区 WUE 变化由 NDVI 主导。

# 3 讨论

## 3.1 陕西省 WUE 的时空变化特征分析

本研究结果显示,陕西省 WUE 的空间分布为 由南向北递减,表现出明显的南北气候差异。此差 异带来的水热条件分布不同,影响着全省区域内的 植被分布及WUE<sup>[16]</sup>。陕西南部区域的湿润条件有 助于森林生态系统植被的生长,植被覆盖度高且生 产力较强,进而提高WUE。北部地区气候干旱,以 草地和灌木生态系统为主,植被覆盖度和生产力相 对南部较低,因此,WUE低值主要分布在此地区。 在本研究结果中,陕西省多年 WUE 平均值为  $(2.1\pm0.4)$  g/(mm·m<sup>2</sup>),与秦格霞等[17]研究结果基 本一致。与陕西省周边地区相比,本文结果在相 同时间尺度上高于宫菲等[18]在宁夏的研究结果 [1.03 g/(mm·m²)]及尹超华[19]在蒙古地区的研究 结果[1.07 g/(mm·m²)]。由于陕西省开展一系列 的生态环境修复工程,如退耕还林、流域治理和自然 资源保护等[20],植被覆盖度增加的同时也提升植被 生产力。2022年相比2001年,陕西省年平均GPP的 增加幅度(60%)高于ET(58%),因此增加WUE。

陕西省森林 WUE 显著高于其他生态系统,主要 是由于该生态系统相比于其他生态系统叶面积指数 和冠层覆盖度均较高,乔木植被的高叶片光合作用 能力,且乔木根系发达,可吸收深层土壤水分为乔木 植被生长提供充足水分供应,因此,能够获得更高的 植被生产力,即更高的GPP值,因此,森林的WUE最 高[12]。农田因人为管理,如灌溉施肥等措施都能够 提高农田生产力,所以,WUE相较于灌木与草地更 高[21]。灌木与草地多分布于干旱半干旱地区,土壤 水分低植被矮小,生态耗水多来自土壤蒸发而非植 物蒸腾[22],因此,WUE相对较低。对不同土地利用 类型的年际变化趋势分析显示,森林WUE呈显著上 升趋势,反映植被生态系统在生态修复工程中的恢 复能力。然而,湿地和农田的WUE呈下降趋势,可 能是由于研究时间段(2001-2022年)湿地所在地区 降水量增加(年增加降水量4.93 mm/a)和农田过量 灌溉所致。李肖娟等[23]研究表明,植被WUE通常随 着降水量的增加而降低;徐晓字[24]研究发现,过量灌 溉显著降低作物的水分利用效率表明,过量灌溉造 成水资源浪费。尽管陕西省整体WUE略有上升,但 不同生态系统的WUE变化趋势不一致,反映不同类型植被对气候变化和人类活动的响应不同。

#### 3.2 环境和生物因素对 WUE 的影响

陕西省不同地区 WUE 的主导因素存在较大差 异,植被对气候因素与生物因素的响应机制具有区 域差异。陕西北部干旱半干旱地区WUE主要受 VPD影响,汉中地区WUE主要受温度影响,而南部 秦巴山区主要受NDVI影响(图6f)。在陕西北部干 旱半干旱地区,WUE与VPD呈显著正相关。VPD 能够通过调节植物气孔的开合度,对植物的蒸腾作 用和光合作用产生重要影响。在干旱环境中,随着 VPD的增加,植物为避免过度失水,气孔关闭,从而 减少蒸腾速率,但由于碳吸收速率下降较慢,WUE 反而提高[12]。而尹超华[19]在蒙古高原植被WUE的 研究中得到相反的结果,表明 VPD 的变化是各植被 生态系统WUE减少的主要驱动因素。蒙古高原位 于干旱半干旱区,该地区属于典型的温带大陆性气 候,水资源相对匮乏。黄土高原同样处在干旱半干 旱地区,却属于大陆性季风气候区,也面临水资源短 缺问题,但可能由于不同的气候条件及黄土高原受 人类活动的影响更多,使得 VPD 对 WUE 的影响不 同于蒙古高原。

在陕西汉中地区,WUE与温度呈显著正相关。 张永永等[10]研究表明,云南省整体植被WUE受温度 的影响最大,且北部植被WUE与温度呈正相关,本 研究结果与之类似。表明温度在一定范围内对 WUE具有促进作用,温度对植物大部分的生理过程 都有着复杂的影响,温度可通过影响某些特定酶的 活性来影响植物光合速率,也同样可影响植物叶片 气孔的开合影响碳的吸收速率及蒸腾速率[9]。

陕西南部秦巴山区相较于北部拥有更好的水热条件且植被茂密,该地区WUE的变化由NDVI主导。NDVI能够客观地反映地区的植被覆盖情况及植被生长状况,高NDVI值通常表明该地区植被生长状况良好<sup>[13]</sup>。南部秦巴山区森林相较于其他地区有着更高的NDVI,说明该地的植被生命活动更加旺盛,而森林生态系统相较于其他生态系统有着更高的生产力,进而能够提高WUE。

### 3.3 不确定性因素分析

本研究主要使用 MODIS 遥感反演数据计算 WUE,虽然有研究<sup>[5]</sup>已经证明 MODIS 数据产品在 WUE研究中的可靠性,然而 GPP 和 ET 数据在反演 时,最大光能利用效率的确定或仅考虑气候参数等 问题都能增加反演结果的不确定性<sup>[25]</sup>。在未来研究 中,可利用更高精度的遥感数据产品并结合地面站 点实测数据,以期得到更为准确的研究结果。本研究结果中,陕西省WUE年际间呈不显著上升趋势,需要使用更长时间及更多数量的样本分析WUE变化趋势;另一方面,陕西省内存在显著的地形和气候差异,植被类型分布广泛。从北部的草原和灌木到南部的森林,不同植被类型的水分利用策略各异。本研究未考虑到不同类型植被对不同影响因素的敏感度差异,后续的研究需要对上述差异进一步探索。

# 4 结论

1) 陕西省 2001—2022 年 WUE 年平均值为  $(2.1\pm0.4) g/(mm \cdot m^2)$ ,在空间上呈南高北低趋势。

2)WUE在年际间呈不显著波动上升趋势,变化率为0.002 g/(mm·m²·a)。在年内表现出单峰变化特征,WUE从1月开始上升,峰值在5月出现,持续到9月开始下降。

3)陕西省不同生态系统 WUE表现为森林>湿地>农田>灌木>草地。生态修复工程效果明显,森林 WUE呈显著上升趋势。农田与湿地 WUE呈显著下降趋势,需要注意农田灌溉策略的优化与湿地生态系统恢复的进一步强化。灌木与草地 WUE没有显著变化。

4)陕西各因素主导的区域面积占比从大到小依次为 T(33.24%)、NDVI(30.80%)、VPD(27.70%)、ET $_0(6.07)$ 、P(2.08%)。 T 主导变化的区域占比最大。

### 参考文献:

- [1] PAN S F, YANG J, TIAN H Q, et al. Climate extreme versus carbonextreme: Responses of terrestrial carbonfluxes to temperature and precipitation [J]. Journal of Geophysical Research: Biogeosciences, 2020, 125, e2019JG005252.
- [2] 胡中民,于贵瑞,王秋凤,等.生态系统水分利用效率研究进展[J].生态学报,2009,29(3):1498-1507. HU Z M, YU G R, WANG Q F, et al. Ecosystem level water use efficiency: A review[J].Acta Ecologica Sinica,2009,29(3):1498-1507.
- [3] TANG X G, LI H P, DESAI A R, et al. How is water-use efficiency of terrestrial ecosystems distributed and changing on earth? [J]. Scientific Reports, 2014, 4: e7483.
- [4] 郭李迈.近35年中国陆地生态系统水分利用效率时空格局及其对干旱的响应[D].南京:南京大学,2020. GUO L M. Spatiotemporal variations of terrestrial ecosystem water use efficiency and its response to drought in recent 35 years in China [D]. Nanjing: Nanjing University,2020.

- [5] 周雄,孙鹏森,张明芳,等.西南高山亚高山区植被水分利用效率时空特征及其与气候因子的关系[J].植物生态学报,2020,44(6):628-641.
  - ZHOU X, SUN PS, ZHANG MF, et al. Spatio-temporal characteristics of vegetation water use efficiency and their relationships with climatic factors in alpine and subalpine area of southwestern China[J]. Chinese Journal of Plant Ecology, 2020, 44(6): 628-641.
- [6] 李丽丽,杜军,李亚徽,等.2000—2020年祁连山冻土 区植被水分利用效率变化特征及其对干旱的响应[J]. 冰川冻土,2023,45(2):688-698.
  - LI L L, DU J, LI Y H, et al. Changes of vegetation water use efficiency and their responding to scPDSI in frozen ground area of the Qilian Mountains from 2000 to 2020 [J]. Journal of Glaciology and Geocryology, 2023, 45(2):688-698.
- [7] 汪晓珍,呼海涛,吴建召,等.2000—2020年陕西省陆 地生态系统 NPP时空变化与潜力[J].水土保持学报, 2024,38(3):325-334.
  - WANG X Z, HU H T, WU J Z, et al. Spatial and temporal variation and potential of NPP in terrestrial ecosystems in Shaanxi Province from 2000 to 2020[J]. Journal of Soil and Water Conservation, 2024, 38 (3): 325-334.
- [8] 仇宽彪,成军锋.陕西省植被水分利用效率及与气候 因素的关系[J].水土保持研究,2015,22(6):256-260. QIU K B, CHENG J F. Vegetation water use efficiency and its relationship with climate in Shaanxi Province[J]. Research of Soil and Water Conservation, 2015,22(6): 256-260.
- [9] 王强,张欣薇,黄英金,等.光环境和温度对商陆净光 合速率、蒸腾速率和瞬时水分利用效率的协同影响 [J].植物生理学报,2021,57(1):187-194.
  - WANG Q, ZHANG X W, HUANG Y J, et al. Synergistic effects of light environment and temperature on net photosynthetic rate, transpiration rate and instant wateruse efficiency of phytolacca americana [J]. Plant Physiology Journal, 2021, 57(1):187-194.
- [10] 张永永,税伟,孙晓瑞,等.云南省植被水分利用效率时空变化及影响因素[J].生态学报,2022,42(6):2405-2417.
  - ZHANG Y Y, SHUI W, SUN X R, et al. Spatiotemporal variation and influencing factors of vegetation water use efficiency in Yunnan Province [J]. Acta Ecologica Sinica, 2022, 42(6): 2405-2417.
- [11] 马亚丽,牛最荣,张芮,等.疏勒河流域潜在蒸散发时空演变及驱动因素量化分析[J].水土保持研究,2022,29(5):350-357.
  - MAYL, NIUZR, ZHANGR, et al. Temporal and

- spatial evolution and driving factors of potential evapotranspiration in Shule River basin [J]. Research of Soil and Water Conservation, 2022, 29(5): 350-357.
- [12] 常晓格. 黄土高原生态系统水分利用效率时空变化特征及其影响因素[D]. 河南 焦作:河南理工大学, 2022.
  - CHANG X G. Spatial and temporal characteristics of ecosystem water use efficiency and its influencing factors in the Loess Plateau [D]. Jiaozuo, Henan: Henan Polytechnic University, 2022.
- [13] WU X T, WANG S, FU B J, et al. Socio-ecological changes on the Loess Plateau of China after grain to green program [J]. Science of the Total Environment, 2019, 678:565-573.
- [14] YU H C, BIAN Z F, MU S G, et al. Effects of climate change on land cover change and vegetation dynamics in Xinjiang, China[J]. International Journal of Environmental Research and Public Health, 2020, 17(13); e4865.
- [15] LIU Z Z, WANG H, LI N, et al. Spatial and temporal characteristics and driving forces of vegetation changes in the Huaihe River basin from 2003 to 2018 [J]. Sustainability, 2020, 12(6): e2198.
- [16] 李媛媛. 地形和气候对陕西省植被覆盖时空变异的影响分析[D]. 陕西 杨凌:西北农林科技大学, 2023. LIYY. Influence of topography and climate on temporal and spatial variation of vegetation cover in Shaanxi Province [D]. Yangling, Shaanxi: Northwest A&F University, 2023.
- [17] 秦格霞,孟治元,李妮.黄土高原水分利用效率动态及 其对干旱和地表温度的响应[J].干旱区地理,2024, 47(11):1887-1898.
  - QIN G X, MENG Z Y, LI N. Dynamics of water use efficiency and its response to drought and land surface temperature on the Loess Plateau[J]. Arid Land Geography, 2024, 47(11): 1887-1898.
- [18] 宫菲,杜灵通,孟晨,等.宁夏陆地生态系统水分利用 效率特征及其影响因子[J].生态学报,2019,39(24): 9068-9078.
  - GONG F, DU L T, MENG C, et al. Characteristics of water use efficiency in terrestrial ecosystems and its influence factors in Ningxia Province [J]. Acta Ecologica Sinica, 2019, 39(24):9068-9078.
- [19] 尹超华.蒙古高原植被水分利用效率时空变化特征及

- 驱动因素研究[D].呼和浩特:内蒙古师范大学,2023. YIN C H. Spatiotemporal evolution characteristics and drivers of vegetation water use efficiency in the Mongolian Plateau [D]. Hohhot: Inner Mongolia Normal University, 2023.
- [20] 黄娇,陈海,王佳宇,等.区域社会-生态系统恢复力协调发展时空演变研究:以陕西省为例[J].干旱区地理,2024,47(2):343-355.
  - HUANG J, CHEN H, WANG JY, et al. Spatiotemporal evolution of the coordinated development of regional socialecological system resilience: A case study of Shaanxi Province [J]. Arid Land Geography, 2024, 47 (2): 343-355.
- [21] 徐同庆,陶健,王程栋,等.中国农田生态系统水分利 用效率的格局与成因[J].中国农学通报,2018,34 (16):83-91.
  - XU T Q, TAO J, WANG C D, et al. Pattern of agroecosystem water use efficiency and its formation causes in China [J]. Chinese Agricultural Science Bulletin, 2018, 34(16):83-91.
- [22] GAO GY, SHEN Q, ZHANGY, et al. Determining spatio-temporal variations of ecological water consumption by natural oases for sustainable water resources allocation in a hyper-arid endorheic basin [J]. Journal of Cleaner Production, 2018, 185:1-13.
- [23] 李肖娟,张福平,王虎威,等.黑河流域植被水分利用 效率时空变化特征及其与气候因子的关系[J].中国 沙漠,2017,37(4):733-741.
  - LIXJ, ZHANGFP, WANGHW, et al. Analysis of the spatio-temporal characteristics of water use efficiency of vegetation and its relationship with climate in the Heihe River basin[J]. Journal of Desert Research, 2017, 37(4):733-741.
- [24] 徐晓宇. 基于 Meta 分析的不同灌溉量对作物产量、水分利用效率及品质的研究[D]. 兰州: 兰州大学, 2021. XU X Y. Effects of irrigation amount on yield, water use efficiency and quality of several crops based on meta analysis [D]. Lanzhou; Lanzhou University, 2021.
- [25] KIM H W, HWANG K, MU Q Z, et al. Validation of MODIS 16 global terrestrial evapotranspiration products in various climates and land cover types in Asia [J]. KSCE Journal of Civil Engineering, 2012, 16 (2): 229-238.